

بررسی خصوصیات تحکیمی خاک‌های رسی آلوده به سیال آلی

امیر حمیدی* (دانشیار)

سیرووس جباری (کارشناس ارشد)

دانشکده‌ی فنی و مهندسی، دانشگاه خوارزمی تهران

خاک‌ها در معرض آلودگی‌های فراوان در اثر نشت از مخازن نفتی، چاه‌های نفت و سدهای باطله هستند، و این آلودگی در خصوصیات فیزیکی و ژئوتکنیکی خاک مؤثر است. در این تحقیق، با انجام آزمایش‌های تحکیم ادئومتر، خصوصیات تراکم‌پذیری خاک‌های رسی آلوده به سیال آلی بررسی شده است. خاک رس کائولوینیت و بنتونیت به منزله‌ی مصالح پایه و آلاینده‌های آلتی شامل نفت سفید و نفت گاز در درصد‌های وزنی ۶، ۹ و ۱۲ به آن اضافه شده است. آزمایش‌ها در دو تراکم نسبی ۵۰٪ و ۷۰٪ انجام شده است. نتایج آزمایش‌ها نشانگر افزایش تورم اولیه‌ی خاک آلوده به سیال آلی در هنگام اشباع شدن است. به علاوه روغن‌کاری ذرات خاک به دلیل حضور سیال نفتی نیز موجب افزایش تراکم‌پذیری خاک خواهد شد، که دلیل آن ویژگی‌های شیمیایی سیال منفذی، افزایش فعالیت کانی‌های رسی و افزایش ضخامت لایه‌ی جذب سطحی است.

hamidi@knu.ac.ir
sirusjedari@gmail.com

واژگان کلیدی: خاک آلوده، سیال نفتی، تحکیم یک بعدی، تراکم نسبی، ویژگی‌های شیمیایی.

۱. مقدمه

پژوهش‌هایی از دیاد شاخص خمیری خاک با اضافه‌کردن سیال آلی به آن گزارش شده است.^[۱۴-۱۱] حال آنکه در پژوهش‌های دیگری کاهش در حدود اتربرگ^۲ با افزایش درصد سیال آلی در خاک ریزدانه عنوان شده است.^[۱۵-۱۸] همچنین با انجام آزمایش‌های تراکم‌پذیری، پژوهش‌گرانی کاهش چگالی خشک بیشینه با افزایش درصد سیال آلی در خاک ریزدانه را نشان داده‌اند.^[۱۵-۱۷] پژوهش‌گران دیگری روند افزایشی آن با درصد آلاینده در خاک را بیان کرده‌اند.^[۱۶] از طورکلی خاک‌های رسی دارای ساختاری با ویژگی‌های شیمیایی هستند و تغییر در مشخصات سیال منفذی موجب اثرگذاری بر مکانیزم‌های رفتار فیزیکی و مکانیکی این خاک‌ها می‌شود. به منظور بررسی این تفاوت‌ها و تفسیر آن‌ها و همچنین بررسی خصوصیات تحکیمی خاک‌های ریزدانه‌ی آلوده به سیال آلی، در این پژوهش به مطالعه‌ی اثر دو آلاینده نفتی بر مشخصات فیزیکی، تراکم‌پذیری، و تحکیم خاک‌های رسی پرداخته شده است.

۲. مشخصات مواد استفاده شده در آزمایش‌ها

دو نوع خاک رسی بنتونیت^۳ و کائولینیت^۴ به ترتیب نماینده‌ی خاک ریزدانه با خصوصیات خمیری بالا و پایین هستند، برای خاک پایه استفاده شده است. این خاک‌ها در سیستم طبقه‌بندی متحده^۵ به ترتیب CH و CL هستند. مشخصات فیزیکی این دو خاک در جدول ۱ ارائه شده است.

آلودگی خاک‌ها به مواد نفتی نه فقط یک مسئله‌ی زیست‌محیطی است، بلکه از نقطه‌نظر ژئوتکنیکی نیز حائز اهمیت فراوانی است. نشت نفت در بسیاری از موارد در حین انتقال از دریا به ساحل و بالعکس به صورت تصادفی اتفاق می‌افتد. موارد دیگری همچون نشت از زیر مخازن در جایگاه‌های توزیع سوخت، تصادف تانکرهای نفتی، و نشت در اطراف چاه‌های نفتی نیز از جمله متابع نشت مواد نفتی هستند. یکی از حادثه‌هایی که اخیراً در دنیا باعث نشت نفت به صورت گستردۀ شده است، انفجار یکی از چاه‌های نفتی متعلق به شرکت نفتی انگلستان^۱ در خلیج مکزیک است که از آن به منزله‌ی یک فاجعه‌ی زیست‌محیطی در دنیا نام برده شده است. نشت آلاینده‌ی نفتی موجب آلودگی خاک و سبب تغییر خواص فیزیکی و شیمیایی آن می‌شود. تغییر در خواص فیزیکی خاک‌های رسی آلوده به نفت خام، پایداری شیروانی‌ها، ظرفیت باربری پین‌ها و دیگر سازه‌های بنانده بر آن را تحت تأثیر قرار می‌دهد. مطالعات محدودی در ارتباط با خواص فیزیکی و شیمیایی خاک آلوده به مواد نفتی انجام شده است. تعدادی از این تحقیقات به بررسی پارامترهای ژئوتکنیکی خاک‌های دانه‌بی پرداخته‌اند.^[۱۹-۲۰] همچنین در زمینه‌ی بررسی رفتار مکانیکی خاک‌های ریزدانه‌ی آلوده به سیال آلی تاکنون تحقیقات بسیاری را می‌توان نام برد.^[۱۸-۲۱]

بررسی تحقیقات قبلی در زمینه‌ی خصوصیات فیزیکی و ویژگی‌های تراکم‌پذیری خاک‌های ریزدانه، حاکی از وجود تفاوت‌هایی در نتایج به دست آمده است. مثلاً در

* نویسنده مسئول

تاریخ: دریافت ۱۷/۱۲/۱۳۸۹، اصلاحیه ۲۸، پذیرش ۲۲/۰۶/۱۳۹۰

جدول ۱. مشخصات خاک‌های مورداستفاده در انجام آزمایش‌ها.

خاک پایه	نام خاک براساس سیستم طبقه‌بندی متعدد	حد روانی	حد خمیری	دامنهٔ خمیری (%)	چگالی خشک بیشینه (%)	چگالی ویژه (%)	دانه‌های جامد (kN/m³)	چگالی خشک بیشینه (%)	حد روانی (%)	دامنهٔ خمیری (%)	چگالی ویژه (%)	دانه‌های جامد (%)	چگالی خشک بیشینه (%)	نام خاک براساس سیستم طبقه‌بندی متعدد
پنتونیت	CH	۲۳۸	۶۶	۱۷۲	۲,۰۲	۱۱,۷	۲۳	۱۷۲	۶۶	۱۷۰	۱۱,۷	۱۱,۷	۱۷۰	CH
کاولینیت	CL	۲۲	۲۲	۱۰	۲,۶۶	۱۶,۵	۱۳	۱۰	۲۲	۲۲	۱۶,۵	۱۶,۵	۱۰	CL

رسد. انتخاب زمان مذکور براساس تحقیقات مشابه انجام شده^[۱۶] بوده است. در آزمایش‌های تحکیم یک بعدی، پس از آماده‌سازی خاک، وزن موردنیاز برای رسیدن به تراکم موردنظر در سلول تحکیم محاسبه شد و نمونه در داخل آن قرار گرفت. برای سنجش میزان تورم نمونه در فرایند اشباع‌سازی، درجه دقیق تغییرمکان با دقت ۰,۰۱ میلی‌متر بر پیستون بارگذاری قرار داده شد.

نمونه با استفاده از آب مقطر به روش اشباع نرمال^{۱۱} و قراردادن ظرف در داخل آب به مدت ۴۸ ساعت اشباع شد، اما در نمونهٔ حاوی ۱۰٪ آلاینده، از خود سیال آلی برای اشباع نمونه استفاده شد. برای بارگذاری نمونه، پیچ زیر اهرم انتقال نیرو چرخانه می‌شود تا تراز شود. سیستم انتقال نیرو قرارداده می‌شود و با تغییرمکان وزنهٔ تعادل، این وزنه در حالتی قرار می‌گیرد که اهرم انتقال نیرو بدون وجود پیچ زیرین در وضعیت تراز باشد. در این شرایط، فشاری به نمونه وارد نمی‌شود و فقط تحت تأثیر وزن پیستون بارگذاری خواهد بود. در آزمایش‌ها از ضربی اهرم ۱ به ۱۰ استفاده شد. این مقدار براساس کالیبراسیون دقیق سیستم پیش از انجام آزمایش‌ها محاسبه شده است. گام‌های بارگذاری با ۲ برابرکردن بار در هر مرحله از ۱۶۰۰ تا ۱۶۰۰۰ کیلویونت (کیلوترمربع) ادامه یافت. نظر به آنکه بیشینهٔ بار قابل تحمل اهرم بارگذاری ۲۲ کیلوگرم است، انجام بارگذاری تا سقف تنش (kN/m^2) ۱۶۰۰ محدود بود. هر مرحله بارگذاری، تا ثبت کامل تغییرمکان قائم نمونه ادامه پیدا کرد.

۴. نتایج آزمایش‌ها

در این قسمت نتایج بدست آمده از آزمایش‌ها در ۲ بخش فیزیکی و مکانیکی بررسی می‌شود.

۴.۱. نتایج آزمایش‌های فیزیکی

۴.۱.۱. حدود اتربرگ

نتایج حاصل از آزمایش‌های حدود اتربرگ به صورت تغییرات حد روانی و شاخص خمیری با درصد آلاینده نفت سفید و نفت گاز باعث ایجاد چسبندگی شده است. این شکل‌ها نشان‌دهنده افزایش در حد روانی و شاخص خمیری با افزایش درصد آلاینده در خاک هستند.

عملت افزایش حد روانی در آزمایش‌های انجام شده را می‌توان به لزjet آن از آن دو سیال نفت سفید و نفت گاز نسبت داد. لزjet بالای سیال باعث ایجاد چسبندگی بیشترین ذرات خاک رس می‌شود. بدین ترتیب برای تغییر افزایش جامد به مایع (حد روانی) و غایبه به این چسبندگی، نیاز به آب بیشتری خواهد بود.

با توجه به حلال نبودن نفت سفید و نفت گاز در آب، این سیالات تأثیری بر ویژگی‌های فیزیکی آب ندارند و در تیجه ثابت دی‌الکتریک سوسپانسیون آب و خاک بدون تغییر باقی خواهد ماند. این نتایج با یافته‌های سایر محققان تطابق دارد.^[۱۶,۱۱]

جدول ۲. مشخصات آلاینده‌های مورداستفاده در آزمایش‌ها.

نام آلاینده	ثبت دی‌الکتریک	لزjet (سانتی استوکس*)
نفت سفید	۱,۸	۲,۷۱
نفت گاز	۲,۰	۱۳,۹

* Centi Stokes

همچنین نفت سفید و نفت گاز که احتمال آسودگی خاک به این مواد در جایگاه‌های توزع سوخت و در مجاورت مخازن ذخیره وجود دارد، و از سوخت‌های رایج در صنعت حمل و نقل و صنعت در ایران هستند؛ به‌منظمه سیال آلی آلاینده خاک انتخاب شدند. ویژگی‌های این دو سیال نیز در جدول ۲ آورده شده است.

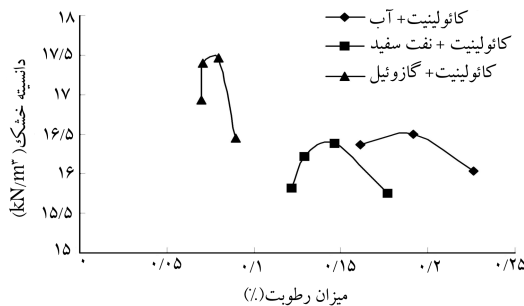
۳. روند انجام آزمایش‌ها

آزمایش‌های انجام شده در این تحقیق در ۲ گروه آزمایش‌های فیزیکی و مکانیکی تقسیم‌بندی شده‌اند. در بخش آزمایش‌های فیزیکی، آزمایش‌های حد روانی^۴، حد خمیری^۷، چگالی ویژه^۸، و تراکم استاندارد^۹ انجام شده است. در بخش آزمایش‌های مکانیکی نیز با انجام یک سری منظم آزمایش‌های تحکیم یک بعدی تغییرمکانیکی نیز با انجام یک سری منظم آزمایش‌های تحکیمی خاک‌های رسی آسوده به سیال نفتی پرداخته شود. درصد آلاینده در خاک‌ها صفر، ۳، ۶ و ۹ درصد وزنی و در یک مورد ۱۰٪ وزنی انتخاب شده و نمونه‌ها در دو تراکم نسبی ۱۰٪ و ۵۰٪^{۱۰} مورد آزمایش قرار گرفته‌اند. جدول ۳ نمایی از آزمایش‌ها و متغیرهای در نظر گرفته شده برای این تحقیق را نشان می‌دهد.

برای ساخت نمونه‌ها، ابتدا خاک عبوری از الک شماره ۲۰۰ به مدت ۱۶ ساعت در گرمخانه و در دمای ۱۱۰°C قرار داده شد تا رطوبت آن از بین رود و خشک به دست آید. پس از آن، خاک با آلاینده موردنظر در درصد‌های مختلف وزنی به روش اختلاط دستی مخلوط شد. این اختلاط تا جایی ادامه پیدا کرد که آلاینده و خاک به صورت کاملاً همگن مخلوط شدند. پس از آن، ترکیب به دست آمده در ظرف‌های مخصوص فلزی و دربسته قرار گرفت و با استفاده از کیسه‌های پلی‌اتیلن بسته‌بندی شد تا از تبخر سیال موجود در خاک جلوگیری به عمل آید. این عمل به مدت ۷ شبانه روز ادامه یافت تا مخلوط خاک و سیال از لحظه شیمیایی به تعادل

جدول ۳. مشخصات آزمایش‌ها و پارامترهای در نظر گرفته شده در این پژوهش.

نوع آزمایش	نام آزمایش	استاندارد آلاینده	درصد وزنی (%)
فیزیکی	حدود اتربرگ	ASTM D-۴۳۱۸	۹,۶,۳,۰
فیزیکی	چگالی ویژه	ASTM D-۰۸۵۴	۹,۶,۳,۰
مکانیکی	تراکم استاندارد	ASTM D-۰۶۹۸	۹,۶,۳,۰
مکانیکی	تحکیم یک بعدی	ASTM D-۴۲۵۳	۱۰,۰ و ۹,۶,۳,۰ و ۷,۰ و ۵,۰

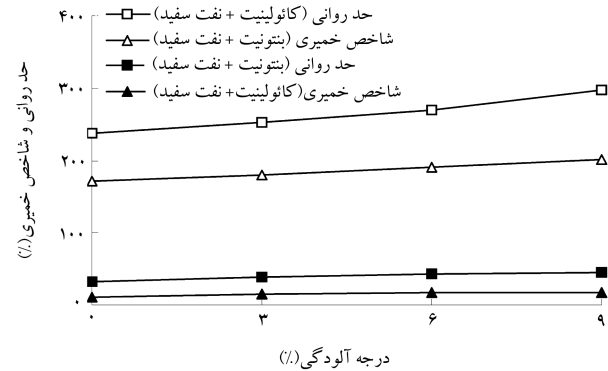


شکل ۴. نتایج آزمایش تراکم استاندارد بر رس کاتولینیت آلوده به نفت سفید و نفت گاز

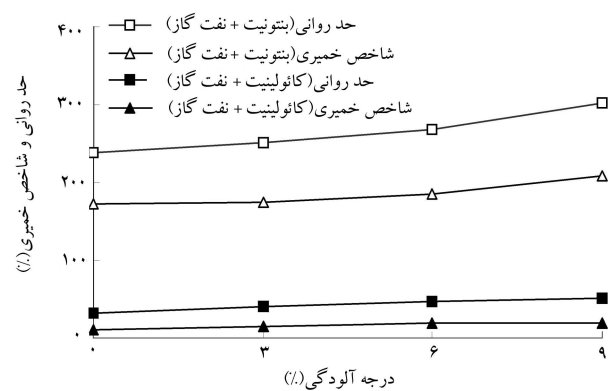
رس کاتولینیت (16.5 kN/m^3) به دست آمده است. در شرایطی که به جای آب از نفت سفید یا نفت گاز استفاده شده باشد، نتایج آزمایش تراکم بر رس کاتولینیت، و نیز نمودار تراکم برای سیال آب جهت مقایسه در شکل ۴ نشان داده شده است. مطابق این شکل، بدلیل آلودگی کاتولینیت به نفت سفید، نمودار تراکم به سمت رطوبت بیشینه کمتر حرکت می‌کند، هر چند وزن مخصوص خشک بیشینه تغییر چندانی نمی‌کند. اما در شرایط آلودگی به نفت گاز، علاوه بر کاهش شدیدتر رطوبت بیشینه، مقدار وزن مخصوص بیشینه افزایش می‌یابد که بیانگر افزایش تراکم پذیری خاک در حالت آلودگی به این ماده‌ی نفتی است. علت این موضوع لزجت بالاتر نفت سفید و نفت گاز نسبت به آب است که موجب حرکت راحت‌تر دانه‌های خاک می‌شود و خاک را با درصد رطوبت پایین‌تری به چگالی خشک تغییر می‌خورد. در شرایط آلودگی به نفت گاز بیشتر نفت گاز نسبت به نفت سفید، کاهش در رطوبت بیشینه در مطالعات الرحمن و همکاران [۱۶] کاهش در رطوبت بیشینه و افزایش چگالی خشک بیشینه‌ی بالاتر نسبت به آب و نفت سفید خواهد رسید. در مطالعات الرحمن و همکاران [۲۰۰۷] کاهش در رطوبت بیشینه و افزایش چگالی خشک بیشینه‌ی خاک با آلودگی به نفت خام گزارش شده است. این نتایج در تطابق با یافته‌های به دست آمده در این پژوهش است. اما خامه‌چیان و همکاران [۱۵] با انجام آزمایش بر خاک رس با حالت خمیری پایین تتجه‌گیری کردند که افزودن درصد‌های متفاوتی از نفت خام به خاک رس موجب کاهش رطوبت بیشینه و وزن مخصوص خشک بیشینه می‌شود. با توجه به همخوانی نتایج از لحاظ کاهش در میزان رطوبت بیشینه، عملت کاهش در وزن مخصوص خشک بیشینه را می‌توان به درصد‌های آلودگی ۱۲، ۸، ۴ و ۱۶ و استفاده شده در تحقیقات ایشان مرتبط کرد که مقادیر بالاتر نسبت به این پژوهش و یا مطالعات الرحمن و همکاران [۲۰۰۷] بوده است.

۲.۴. نتایج آزمایش‌های تحریک

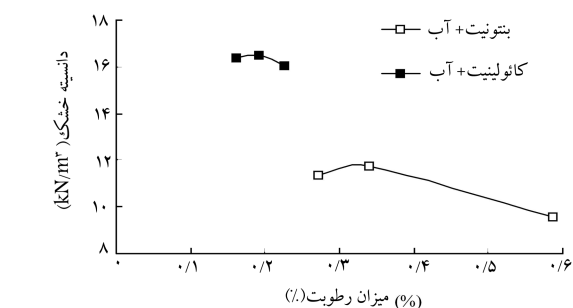
آزمایش‌های تحریک یک بعدی بر خاک رس کاتولینیت و بنتونیت در تراکم نسبی ۵۰٪ و ۷۰٪ در مقادیر آلودگی ۳، ۶ و ۹ درصد انجام شد. در تمامی موارد پس از ساخت نمونه‌ی آلوده در تراکم موردنظر، اشباع نمونه با آب انجام شد. اما برای بررسی شرایط بدون آب، یک آزمایش تحریک نیز بر خاک رس بنتونیت آلوده به ۱۰٪ نفت گاز انجام شد. نتایج آزمایش‌های تحریک در فضای ($p - \log(p)$) برای بنتونیت آلوده به نفت سفید و نفت گاز به ترتیب در شکل‌های ۵ و ۶ و برای کاتولینیت آلوده به نفت سفید و نفت گاز نیز به ترتیب در شکل‌های ۷ و ۸ ارائه شده است. تراکم نسبی نمونه‌ها براساس رابطه‌ی ۱ به صورت نسبت وزن مخصوص نمونه‌ی تهیه شده (γ_d) به وزن مخصوص خشک بیشینه ($\gamma_{d,max}$) به دست آمده از آزمایش تراکم



شکل ۱. حد روانی و شاخص خمیری خاک آلوده به نفت سفید.



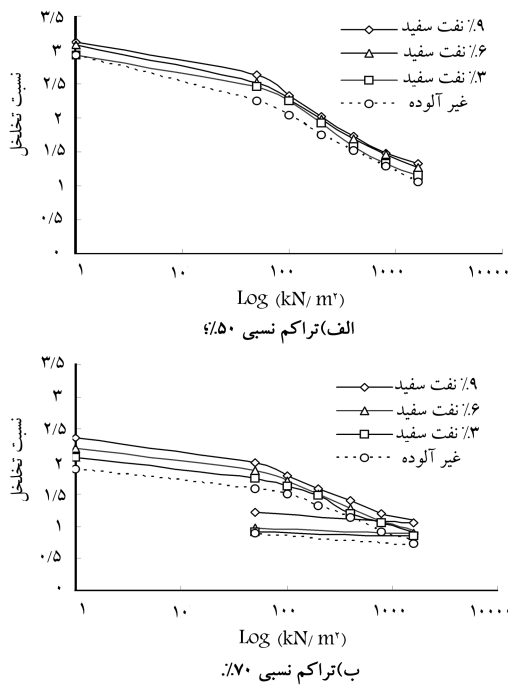
شکل ۲. حد روانی و شاخص خمیری خاک آلوده به نفت گاز.



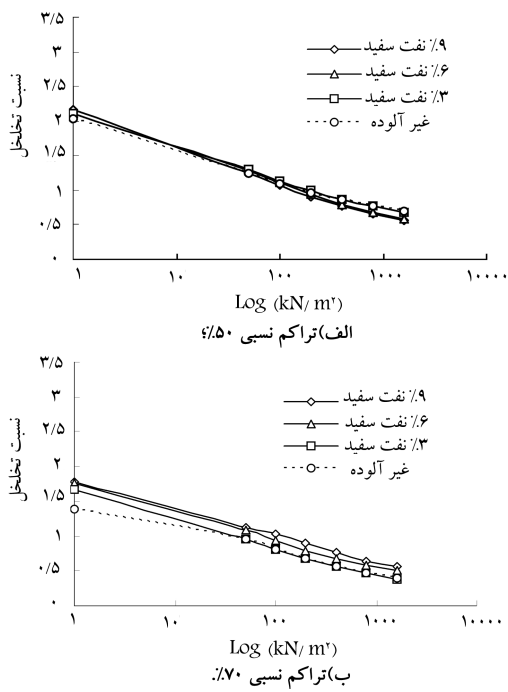
شکل ۳. نتایج آزمایش تراکم استاندارد بر رس کاتولینیت و رس بنتونیت با سیال آب.

در تحقیقاتی دیگر در طلاقان، مطالعاتی بر روی خاک رس آلوده به اتیلن گلیکول و تولوئن برای کاهش حد روانی خاک با افزایش درصد آلینده‌ی آلوی انجام شده است. [۱۸] این دو سیال در آب قابل حل هستند و با توجه به ثابت دی الکتریک بسیار پایین سیالات آلوی در مقایسه با آب، از ثابت دی الکتریک مجموعه سیال منفذی کاسته می‌شود. این امر موجب کاهش شدید ضخامت لایه‌ی آب دوگانه در اطراف کانی رس و تغییر ساختار آن به حالت مجتمع خواهد شد که موجب نزدیکی رفتار به خاک‌های دانه‌بی و کاهش شدید خصوصیات خمیری رس می‌شود.

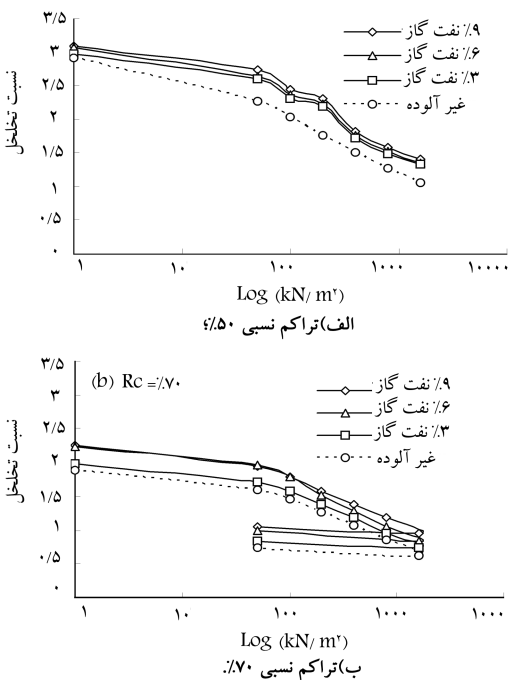
۲.۱.۴. تراکم استاندارد
در شکل ۳، نمودار تغییرات وزن مخصوص خشک در مقابل درصد رطوبت به دست آمده از آزمایش تراکم استاندارد بر خاک رس بنتونیت نشان داده شده است. مطابق این شکل، چگالی خشک بیشینه برای رس بنتونیت (11.7 kN/m^3) و برای



شکل ۷. نتایج آزمایش تراکم استاندارد بر رس بنتونیت آلوده به نفت سفید.

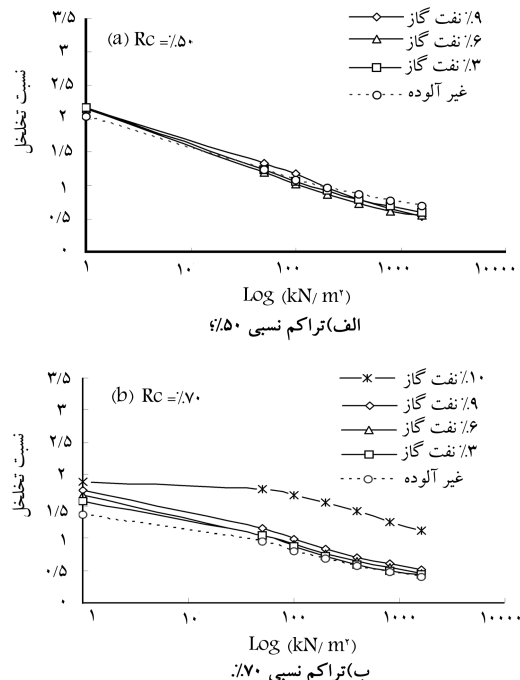


شکل ۵. نتایج آزمایش تراکم استاندارد بر رس کاتولینیت آلوده به نفت سفید.



شکل ۸. نتایج آزمایش تراکم استاندارد بر رس بنتونیت آلوده به نفت گاز.

اشباع نرمال با آب می‌شود. تورم نسبی^{۱۲} نمونه‌ها در روند اشباع سازی آن‌ها با آب براساس تغییرات نسبت تخلخل (Δe_s) به نسبت تخلخل اولیه‌ی نمونه قبل از اشباع (e_{s0}) مطابق رابطه‌ی ۲ محاسبه و منحنی تغییرات آن با درصد آلاینده‌ی آبی برای هر دو خاک در شکل‌های ۹ و ۱۰ ارائه شده است. در واقع افزایاد تورم نسبی با افزایش درصد آلاینده‌ی آبی در خاک رس، دلیل اصلی حرکت منحنی‌های تحکیم به سمت بالا در فضای $p - \log(e)$ است. این موضوع بمویزه در منحنی‌های مربوط به تراکم نسبی ۷۰٪ در شکل‌های ۵ تا ۸ مشخص است. در تراکم نسبی

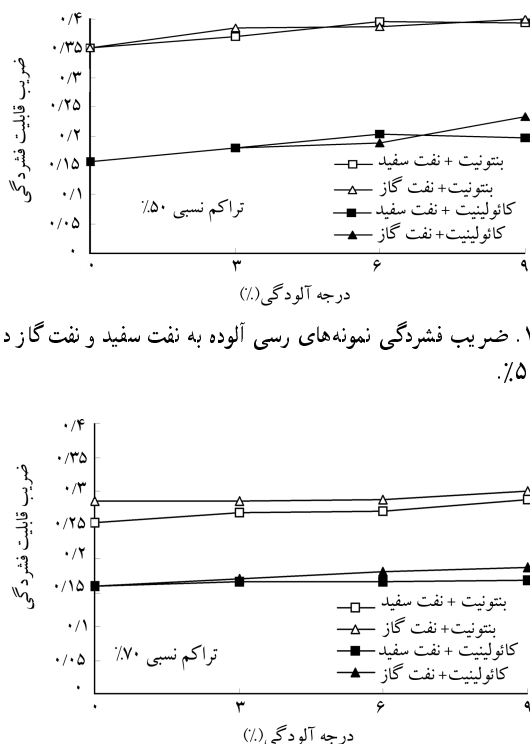


شکل ۶. نتایج آزمایش تراکم استاندارد بر رس کاتولینیت آلوده به نفت گاز.

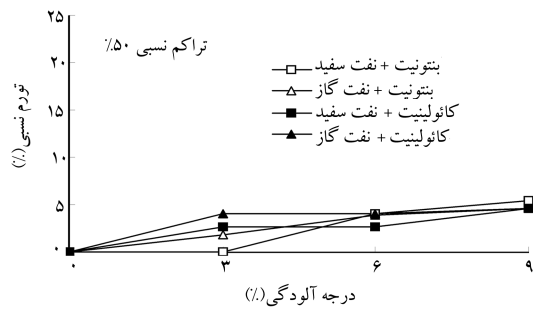
تعريف می‌شود.

$$R_c = \frac{\gamma_d}{\gamma_{d,\max}} \quad (1)$$

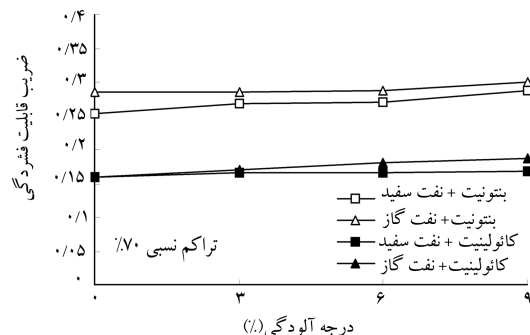
با محاسبه‌ی وزن مخصوص بر مبنای تراکم نسبی نمونه، و با توجه به چگالی ویژه محاسبه شده برای کاتولینیت و بنتونیت که در جدول ۱ ارائه شده است، نسبت تخلخل اولیه نظری هر تراکم نسبی نیز قابل محاسبه خواهد بود. در تمامی آزمایش‌ها مشخص شد که آلودگی به نفت سفید و نفت گاز سبب افزایاد تورم اولیه‌ی نمونه پس از عملیات



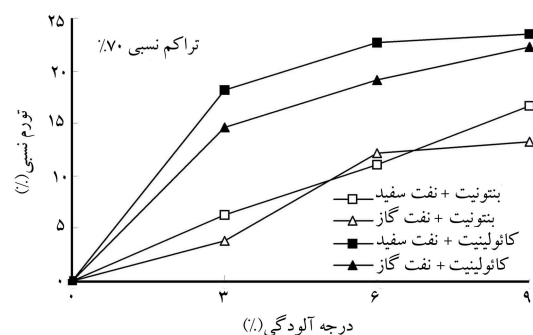
شکل ۱۱. ضریب فشردگی نمونه‌های رسی آلوده به نفت سفید و نفت گاز در تراکم نسبی٪.۵۰.



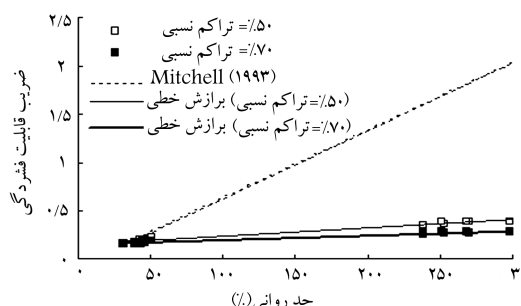
شکل ۹. تورم نسبی نمونه‌های رسی آلوده به نفت سفید و نفت گاز در تراکم نسبی٪.۵۰.



شکل ۱۲. ضریب فشردگی نمونه‌های رسی آلوده به نفت سفید و نفت گاز در تراکم نسبی٪.۷۰.



شکل ۱۰. تورم نسبی نمونه‌های رسی آلوده به نفت سفید و نفت گاز در تراکم نسبی٪.۷۰.



شکل ۱۳. تغییرات ضریب فشردگی نمونه‌های رسی آلوده با حد روانی سیال آلاینده.

رابطه ۳ برای برقراری این ارتباط ارائه شده است:^[۱۶]

$$c_r = 0.007(LL - 10) \quad (3)$$

در این پژوهش نیز سعی بر آن است تا ارتباطی مشابه بین خصوصیات تراکم‌پذیری و حدود انبریگ خاک رسی آلوده به سیال آلی ارائه شود. شکل ۱۳ تغییرات ضریب فشردگی خاک رسی آلوده به سیال آلی را در برابر حد روانی آن نشان می‌دهد. براساس این شکل، رابطه‌های ۴ و ۵ به ترتیب برای تراکم‌های نسبی٪.۵۰ (R_c) و٪.۷۰ (R_c) جهت تعیین ضریب فشردگی (c_r) براساس حد روانی (LL) خاک رسی ارائه می‌شود:

$$R_c = 0.0009(LL + 170) \quad R^r = 0.98 \quad (4)$$

$$R_c = 0.0005(LL + 300) \quad R^r = 0.98 \quad (5)$$

با تلفیق رابطه‌های ۴ و ۵ می‌توان رابطه ۶ را برای تغییرات ضریب فشردگی خاک رسی آلوده با حد روانی سیال آلاینده پیشنهاد داد. همان‌طور که ذکر شد، تراکم نسبی

٪.۵۰، تأثیر درصد آلاینده بر رفتار تحکیمی خاک بهوضوح کمتر است. با توجه به مقیاس یکسان شکل‌های ۹ و ۱۰ ملاحظه می‌شود که میزان تورم نسبی اولیه در نمونه‌های با تراکم نسبی٪.۷۰ به مرتب بیشتر از مقدار نظری در نمونه‌های با تراکم نسبی٪.۵۰ است.

$$R_s = \frac{\Delta e_s}{1 + e_s} \quad (2)$$

شکل‌های ۱۱ و ۱۲ ضریب فشردگی ۱۳ محاسبه شده برای خاک آلوده به دو نوع سیال آلی در تراکم‌های نسبی متفاوت را ارائه می‌کند. نمای کای این دو شکل حاکی از افزایش اندازه ضریب فشردگی با افزایش درصد آلودگی در خاک است. این موضوع نشان‌گر افزایش تراکم‌پذیری خاک آلوده با توجه به لغزنده‌سطوح و سهولت امکان حرکت دانه‌ها در خلل و فرج مابین آن هاست. به علاوه، با توجه به مقیاس یکسان دو شکل معین می‌شود که با افزایش تراکم نسبی نمونه، ضرایب فشردگی و به عبارتی تراکم‌پذیری خاک کاهش یافته است. البته تفاوت در مقادیر ضریب فشردگی کم بوده است و می‌توان نتیجه گرفت که تأثیر آلودگی برویگری‌های تحکیمی خاک رسی در تراکم‌های نسبی پایین کم است؛ گرچه آلودگی خاک در تراکم‌های نسبی بالا می‌تواند به عاملی بسیار تأثیرگذار تبدیل شود. با مقایسه وضعیت تراکم‌پذیری دو نوع خاک مختلف مشخص می‌شود که ضریب تراکم‌پذیری بنتونیت نسبت به کائولینیت بالاتر بوده است، ولی نوع سیال آلاینده تأثیر چندانی بر تغییرات آن نمی‌گذارد. بدین ترتیب افزایش تراکم نسبی عاملی در جهت افزایش تراکم‌پذیری در اثر اعمال مراحل بارگذاری خواهد بود.

در متون فنی مکانیک خاک روابط تجربی متعددی مابین ضریب فشردگی خاک (c_r) و حد روانی (LL) آن ارائه شده است. در خاک‌های رسی دست‌خورده

ندازند. دسته‌ی اول به دلیل قابلیت حل پذیری در آب می‌توانند تأثیر بیشتری بر ویژگی‌های شیمیایی سیال منفذی و خاک بگذارند. بدین ترتیب ارتباط متقابل ضخامت لایه‌ی آب دوگانه و ثابت دی‌الکتریک سیال آلتی در مورد آن‌ها مطرح بوده است، و بنابراین با ازدیاد درصد آلاتینه و کاهش ضخامت لایه‌ی آب دوگانه، رفتار خاک رسی به سمت مصالح دانه‌ی میل می‌کند و ازویژگی‌های حالت خمیری آن کاسته می‌شود. اما در مورد سیالات دسته‌ی دوم که که قابلیت اتحلال در آب را ندارند، شرایط به گونه‌ی دیگر است و اساساً به دلیل حلال نبودن این سیالات در آب، تأثیر آن‌ها بر ویژگی‌های شیمیایی محیط آب و خاک نسبت به دسته‌ی اول کمتر است. لذا در مورد این سیالات خواص فیزیکی مانند لزجت و وزن مخصوص، باشدت بیشتری بر ارتباط نوع سیال منفذی و خاک رسی و بهویژه خصوصیات ناشی از این ارتباط مانند حدود اتربرگ و تراکم پذیری، تأثیرگذار است.

۲. نتایج آزمایش‌های تراکم استاندارد نشان داد که آلودگی خاک رس به نفت سفید و گاز باعث شد تا خاک با درصد وزنی کمتری از سیال منفذی به وزن مخصوص خشک بیشینه برسد. درواقع لزجت بالای نفت سفید و نفت گاز نسبت به آب باعث سهولت حرکت دانه‌ها و لغزش بهتر آن‌ها شده است که امکان دستیابی به تراکم‌های بالاتر را ممکن می‌سازد.

۳. در آزمایش‌های تحکیم یک بعدی بر روی خاک رس کاولینیت مشخص شد که آلودگی خاک رس به نفت سفید و نفت گاز با مقادیر وزنی مختلف ۳، ۶ و ۹ درصد باعث افزایش تورم اولیه‌ی خاک بعد از اشباع آن با آب می‌شود. همچنین ضریب فشردنگی خاک با ازدیاد درصد آلاتینه افزایش می‌یابد. البته میزان افزایش اندک این ضریب نشان‌دهنده تأثیر کم آلاتینه افزایش می‌باشد. همچنین آزمایش‌ها نشان داد که نوع سیال آلاتینه تأثیر چندانی بر ویژگی‌های تراکم پذیری خاک نخواهد گذاشت. با استفاده از نتایج این تحقیق، مابین ضریب فشردنگی خاک رس آلوده به سیال آلتی و حد روانی خاک آلوده ارتباط برقرار شد.

خاک بر میزان تأثیر آلاتینه‌ی آلتی بر رفتار تحکیمی آن مؤثر بوده است؛ به نحوی که در تراکم‌های نسبی پایین، اثر آلاتینه بر تراکم پذیری خاک کمتر است. بر این اساس در رابطه‌ی پیشنهادی، تراکم نسبی خاک نیز به منزله‌ی پارامتری اثرگذار در نظر گرفته شده است. در این رابطه تراکم نسبی (R_c) خاک رس بر حسب درصد است.

$$R_c = \frac{1}{(LL + 6,5(R_c - 24))} \quad (6)$$

۵. نتیجه‌گیری

در این پژوهش یک سری منظم از آزمایش‌های فیزیکی و تحکیم یک بعدی بر خاک رس آلوده به سیال آلتی انجام شده است. دو نوع مختلف خاک با خصوصیات خمیری بالا و پایین برای خاک پایه انتخاب و از نفت سفید و نفت گاز نیز به عنوان سیال آلتی هیدروکربنی برای شیوه‌سازی خاک آلوده استفاده شده است. مهم‌ترین نتایج به دست آمده از آزمایش‌های انجام شده در این پژوهش را می‌توان به این صورت بر شمرد:

۱. آلودگی خاک رس به سیال آلتی موجب افزایش حد روانی و دامنه‌ی خمیری آن می‌شود. عمل این امر لزجت بالای این سیالات نسبت به آب بوده است که سبب می‌شود خاک برای رسیدن به آستانه‌ی روانشدن و غلبه بر چسبندگی مضاعف ناشی از این ویسکوزیته‌ی بالا، آب بیشتری جذب کند و در نتیجه حد روانی آن افزایش یابد. این موضوع در خصوص هر دو نوع خاک رس آلوده به هر یک از آلاتینه‌های نفت سفید و نفت گاز صادق است. با بررسی دقیق نتایج و مقایسه با نتایج دیگر پژوهشگران مشخص می‌شود، که به طورکلی در آلاتینه‌هایی که به منزله‌ی سیال آلتی به خاک وارد می‌شوند، دو دسته‌ی متفاوت قابل نفکیک هستند. دسته‌ی اول سیالاتی مانند: تولوئن، اتیلن گلیکول، پروپانول، و اتانول هستند که قابلیت اتحلال در آب را دارند و دسته‌ی دوم شامل سیالاتی مانند: نفت گاز، نفت سفید و نفت گاز، و نفت سفید هستند که قابلیت اتحلال در آب را

پانوشت‌ها

12. relative swelling
13. compressibility coefficient

منابع (References)

1. British petroleum
2. Atterberg limits
3. Bentonite
4. Kaolinite
5. unified soil classification system
6. liquid limit
7. plastic limit
8. specific gravity
9. standard Proctor
10. relative compaction
11. normal saturation
1. Evgin, E. and Das, B.M. "Mechanical behavior of oil contaminated sand", *Environmental Geotechnology Conferences*, Usmen & Acar (eds), Balkema, Rotterdam (1992).
2. Al-Sanad, H.A., Eid, W.K. and Ismael, N.F. "Geotechnical properties of oil contaminated Kuwaiti sand", *J. of Geotechnical Eng. ASCE*, **121**(5), pp. 407-412 (1995).

3. Fernandez, F. and Quigley, R.M. "Hydraulic conductivity of natural clays permeated with simple liquid hydrocarbons", *Canadian Geotechnical J.*, **22**(2), pp. 205-214 (1985).
4. Fernandez, F. and Quigley, R.M. "Viscosity and dielectric controls on the hydraulic conductivity of clays soils permeated with water soluble organics", *Canadian Geotechnical J.*, **25**(8), pp. 582-589 (1988).
5. Foreman, D.E. and Daniel, D.E. "Permeation of compacted clay with organic chemicals", *J. of Geotechnical Eng. ASCE*, **112**(7), pp. 669-681 (1986).
6. Acar, Y.B., and Gosh, A. "The role of activity in the hydraulic conductivity of compacted soils permeated with acetone", *Proceedings, Environmental Geotechnology Conference*, **1**, ENVO, Bethlehem, Pennsylvania, USA, pp. 403-410 (1986).
7. Bowders, J.J. and Daniel, D.E. "Hydraulic conductivity of compacted clay to dilute organic chemicals", *J. of Geotechnical Eng. ASCE*, **113**(12), pp. 1432-1449 (1987).
8. Acar, Y.B. and Olivieri, I. "Pore fluid effects on the fabric and hydraulic conductivity of laboratory compacted clay", *Transportation Research Record 1219, Geotechnical Eng., Transportation Research Board, National Research Council*, Washington, D.C., pp. 144-159 (1989).
9. Barbour, S.L. and Fredlund, D.G. "Mechanisms of osmotic flow and volume change in clay soils", *Canadian Geotechnical J.*, **26**(4), pp. 551-562 (1989).
10. Yanful, E.K., Haug, M.D. and Wong, L.C. "The impact of synthetic leachate on the hydraulic conductivity of a smectitic tile underlying a landfill near Saskatoon, Saskatchewan", *Canadian Geotechnical J.*, **27**(4), pp. 507-519 (1990).
11. Meegoda, J.N. and Ratnaweera, P. "Compressibility of contaminated fine grained soils", *Geotechnical Testing J.*, **17**(1), pp. 101-112 (1994).
12. Anandarajah, A. and Zhao, D. "Triaxial behavior of kaolinite in different pore fluids", *J. of Geotechnical and Geoenvironmental Eng. Division ASCE*, **126**(2), pp. 148-155 (2000).
13. Kashir, M. and Yanful, E.K. "Hydraulic conductivity of bentonite permeated with acid mine drainage", *Canadian Geotechnical J.*, **38**(5), pp. 1034-1048 (2001).
14. Ratnaweera, P. and Meegoda, J.N. "Shear strength and stress-strain behavior of contaminated soils", *Geotechnical Testing J.*, **29**(2), pp. 416-424 (2006).
15. Khamehchian, M., Charkhabi, A.H. and Tajik, M. "Effects of crude oil contamination on geotechnical properties of clayey and sandy soils", *Eng. Geology*, **89**(3), pp. 220-229 (2007).
16. Al-Rehman, S., Abdoljauwad, N. and Akram, T. "Geotechnical behavior of oil-contaminated fine grained soils", *Electronic J. of Geotechnical Eng.*, **7**(A), pp. 1-12 (2007).
17. Vipulanandan, C. and Elesvwarapu, P. "Index properties and compaction characteristics of kerosene contaminated clayey soil", *Geo-Congress, ASCE, Geotechnics of Waste Management and Remediation*, pp. 804-811 (2008).
18. Moavenian, M.H. and Yasrobi, S.S. "Volume change behavior of compacted clay due to organic liquids as per meant", *Applied Clay Science*, **39**(1), pp. 60-71 (2008).
19. Mitchell, J.K., *Fundamentals of Soil Behavior*, 2nd Edition, John Wiley and Sons Inc., New York (1993).

INVESTIGATING THE CONSOLIDATION BEHAVIOR OF CONTAMINATED CLAY

A. Hamidi (corresponding author)

hamidi@tmu.ac.ir

S. Jedari

sirusjedari@gmail.com

Dept. of Civil Engineering

Kharazmi University

Sharif Civil Engineering Journal

Volume 29, Issue 2, Page 29-35, Original Article

© Sharif University of Technology

- Received 8 March 2011; received in revised form 18 June 2011; accepted 13 September 2011.

Abstract

Soil is generally subjected to different contaminants that are being used and excreted into the environment. Leakage of these materials can influence its physical and mechanical characteristics. A review of technical literature in this field shows some contradictions between the results of different research, which reveals the impact of soil and contaminant type on the behavior of contaminated clayey soil. In order to investigate the effects of organic contamination on the physical and mechanical characteristics of clayey soil, in the present study, a series of index tests, besides one-dimensional consolidation (Oedometer tests), has been performed. Two types of clay, Kaolinite and Bentonite, with low and high plastic indexes are used as the base soils. Also kerosene and gasoil are applied as the organic contaminant in four different percentages of 0, 3, 6 and 9 to the base soil. All samples were kept for seven days in polyethylene bags to perform all chemical reactions before the tests. After that, water is used to saturate all samples normally within 48 hours. Results of physical tests reveal that Atterberg limits increase, by an increase in degree of contamination, for both considered soils. Also, maximum dry density increases with enhancement of the degree of contamination. However, according to the Proctor compaction tests, the optimum moisture content reduces with degree of contamination. This is illustrated due to the lubrication of grains during contamination with organic material. Consolidation tests are conducted on samples in two distinct relative compactations of 50% and 70%, and the results are investigated in e-Log (p) coordinates. Based on the results of one dimensional consolidation tests, compressibility coefficient increases, with an increase in contaminant percentage for both soils. Also, the effects of contamination on the consolidation behavior of clay increase with an enhancement in relative compaction. As a result, it is negligible in soil with low relative compaction. Using

the results of tests, an empirical relation is suggested between the compressibility coefficient of contaminated soil and its relative compaction and liquid limit. Comparison of the suggested equation with ordinary relations in soil mechanics texts shows a great difference, which proves the necessity for new suggested forms in contaminated soil. Finally, it was concluded that chemical and organic contaminants, like kerosene and gas oil, which are not soluble in water, are more effective in changing the physical characteristics of soil, like Atterberg limits and relative compaction. However, compared to the first category, soluble organic contaminants are more effective on the mechanical and consolidation characteristics of clayey soil.

Key Words: Index properties, consolidation behavior, contaminated clays, organic fluid, viscosity.